

计算物理第二次开卷考试

姚铭星 1700011321

目录

1	马修方程	2
1.1	问题描述	2
1.2	QR 分解算法	2
1.3	本征值图线	4
1.4	偶宇称解	4
1.5	$M = 50, q = 10$ 的情况	5
2	氢原子电离	6
2.1	鞍点法近似	6
2.1.1	非线性方程求根	6
2.1.2	代码实现	7
2.2	直接积分法	9
2.3	结果展示	9
3	第三题：随机游走问题	9
3.1	第一问	9
3.2	第二问	10
3.2.1	伪随机数产生器	10
3.3	第三问	10
3.3.1	代码实现	10
3.3.2	拟合数据	11
3.3.3	结果展示	11
3.4	第四问	12
3.5	第五问	12
3.6	第六问	13
3.7	第七问	13
3.8	第八问	13

1 马修方程

1.1 问题描述

在离子阱，椭圆鼓的运动，射频四极矩，浮体的稳定性等问题中等等物理场景中，马修方程 (Mathieu Equation) 都发挥着重要的作用。本题的目标是求出马修方程的本征值。正则形式的马修方程：

$$-\frac{d^2\Psi(\phi)}{d\phi^2} + 2q \cos(2\phi)\Psi(\phi) = A\Psi(\phi) \quad (1)$$

在基于傅里叶基矢选取基函数为：

$$f_k(\phi) = \frac{1}{2M+1} \sum_{n=-M}^{n=M} \Phi_n^*(\phi_k) \Phi_n(\phi) \quad (2)$$

这时方程 (1) 在这组基矢下可以被重新写为：

$$\mathbf{H}\Psi = [\mathbf{T} + \mathbf{V}]\Psi = A\Psi \quad (3)$$

其中 A 为马修方程的本征值。

1.2 QR 分解算法

方程 (3) 中的矩阵 H 是稠密矩阵，因此本征值用 QR 分解的方法最为合适。算法是基于讲义的倒数第 2、3 页完成的。

Householder 变换：

```

1 def Householder(A):
2     """
3     Householder变换，返回Hessengerg矩阵和变换矩阵(A,G)
4     输入A: 矩阵
5     """
6     n = A.shape[0]
7     P = np.identity(n)
8     for i in range(n-2):
9         # 构建反射矩阵
10        x = A[i+1:,i] # 取矩阵列共(n-i-1)维
11        e = np.array([1]+[0 for x in range(n-i-2)]) # 构造单位矢量
12        v = np.sign(x[0])*norm(x)*e+x # 构造反射矢量
13        v = v/norm(v) # 归一化
14        G = np.array([[2*x*y for x in v] for y in v])
15        H = lin.block_diag(np.identity(i+1),np.identity(n-i-1)-G)# 构建反射矩阵
16        A = H@A@H

```

```

17         P = H@P
18     return A,P

```

QR 分解:

```

1 def decompose(A):
2     """
3     利用 Givens 变换分解, A 为上海森堡矩阵
4     返回 (Q,R)
5     """
6     n = A.shape[0]
7     G = np.identity(n) # Givens 矩阵
8     for i in range(n-1): # 共 (n-1) 个非对角元需要消去
9         cos = A[i,i]/np.sqrt(A[i,i]**2+A[i+1,i]**2)
10        sin = A[i+1,i]/np.sqrt(A[i,i]**2+A[i+1,i]**2)
11        G1 = lin.block_diag(np.identity(i),np.array([[cos,sin],[-sin,cos]]),np.
12        A = G1@A
13        G = G@G1.T
14    return G , A

```

QR 算法:

```

1 def QR(A):
2     """
3     QR算法, 输入 Hessengberg 矩阵 A
4     返回特征值和特征向量
5     """
6     n = A.shape[0]
7     i = 0
8     N = 10**5
9     e = 10**(-8)
10    # G = np.identity(n)
11    k = n-1
12    res = [] # 储存本征矢量
13    while k > 0:
14        if abs(A[k,k-1])<e: # 本征值必然是实数
15            res.append(A[k,k]) # 本征值代入
16            A = A[:k,:k] # 取子阵
17            k = k-1
18            s = A[k,k] # 位移因子
19            A=A-s*np.identity(k+1)
20            Q, R = decompose(A)
21            A = R@Q + s*np.identity(k+1)
22            i+=1

```

```

23         if i > N:
24             raise("Too_many_Loops!")
25     res.append(A[0,0]) # 加入最后一个本征值
26     return res

```

1.3 本征值图线

计算出的前 11 个本征值如图（绘图调用了 *matplotlib.pyplot* 方法）

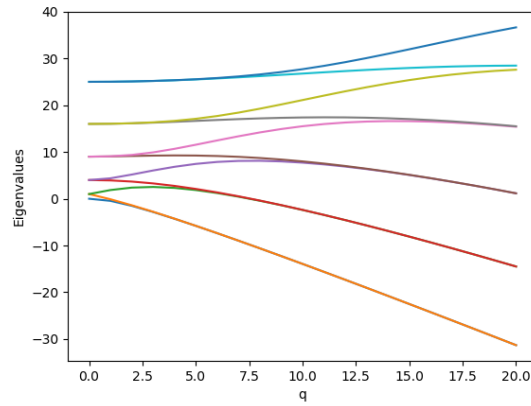


图 1: 前 11 个本征值随 q 的变化关系

1.4 偶宇称解

不难证明:

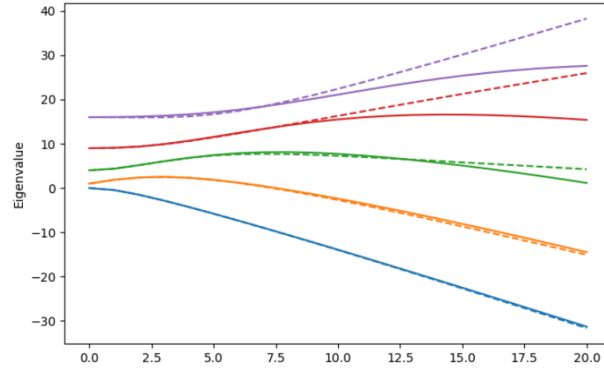
$$f_k(-\phi) = f_{2M+1-k}(\phi) \quad (4)$$

因此, 有:

$$\begin{aligned}
 \Psi(-\phi) &= \sum_{k=1}^{2M+1} C_k f_k(-\phi) \\
 &= \Psi(-\phi) = \sum_{k=1}^{2M+1} C_k f_{2M+1-k}(\phi)
 \end{aligned} \quad (5)$$

判断奇偶宇称的方式为判断 C_k 和 C_{2M+1-k} 的关系。注意到当 $q = 0$ 时会出现简并现象, 实际上, 可以通过重新线性组合的方式, 得到新的满足宇称对称性的解

$$\begin{cases} \frac{1}{2}(\Psi(\phi) + \Psi(-\phi)), & \text{Even} \\ \frac{1}{2}(\Psi(\phi) - \Psi(-\phi)) & \text{Odd} \end{cases} \quad (6)$$

图 2: 虚线为 $M=5$, 实线为 $M=40$ 1.5 $M = 50, q = 10$ 的情况

直接按上问的方法求解出本征值：由于存在以下关系式可以直接画图

$$[-13.936979956659078, -2.3991424000365744, 7.717369849780097, 15.502784369733046, 21.10463370865778]$$

$$C_k = 2\pi\Psi(\phi_k) = 2\pi\Psi(\phi_k - 2\pi) \quad (7)$$

实际上由于利用正交矩阵求出的本征矢量误差较大，实际上可以使用反幂

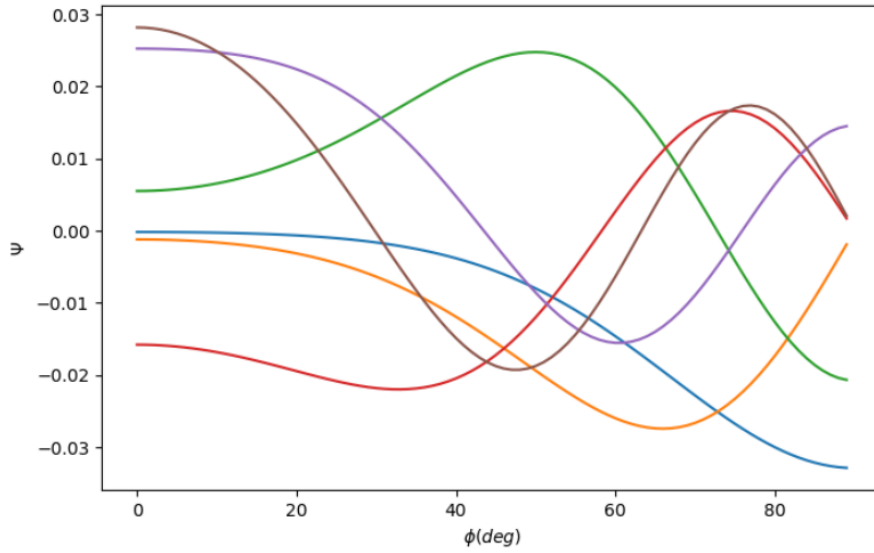


图 3: 前六个本征矢和

法来利用本征值迭代得到本征矢。

2 氢原子电离

2.1 鞍点法近似

题文的背景为求解氢原子的跃迁问题，即电子从束缚态跃迁到自由态的问题。问题的关键是求解跃迁矩阵元：

$$\begin{aligned} M_{\mathbf{p}}^0(t_f, t_i)_{DI} &= \int_{t_i}^{t_f} dt \left\{ \frac{\partial}{\partial \mathbf{q}} \left[\frac{2^{\frac{3}{2}} (2I_p)^{\frac{5}{4}}}{\pi (\mathbf{q}^2 + 2I_p)^2} \right] \right\} \cdot \mathbf{E}(t) e^{iS(t)} \\ &= 2^{\frac{7}{2}} (2I_p)^{\frac{5}{4}} \int_{t_i}^{t_f} dt \frac{\mathbf{q} \cdot \mathbf{E}(t)}{\pi (\mathbf{q}^2 + 2I_p)^3} e^{iS(t)} \\ S(t) &= \int_0^t d\tau \left[\frac{1}{2} (\mathbf{p} + \mathbf{A}(\tau))^2 + I_p \right] \end{aligned} \quad (8)$$

求解给定动量 p 下的鞍点方程：

$$\frac{\partial S(t)}{\partial t} = 0, \quad t = t_s = t_r + it_i \quad (9)$$

从而得到鞍点法近似下的积分近似值：

$$M_{\mathbf{p}}^0(t_f, t_i)_{SPM} = -\frac{(2I_p)^{\frac{5}{4}}}{\sqrt{2}} \sum_{\alpha} \frac{1}{S''(t_{s\alpha})} e^{iS(t_{s\alpha})} \quad (10)$$

其中求和为对所有物理解 ($\text{Im}(t_{s\alpha}) > 0$) 的鞍点 α 求和。

2.1.1 非线性方程求根

为了简单起见，下面记 $B = \frac{A_0}{2}$ 。鞍点方程：

$$0 = \frac{1}{2} q(t_{s\alpha})^2 + I_p = \frac{1}{2} \left(B \sin \tau \left(1 - \cos \frac{\tau}{2} \right) \Big|_{\tau=\omega t_{s\alpha}} + p_z \right)^2 + I_p \quad (11)$$

通过代换 $x = e^{i\tau/2}$ 可以将上方方程变为两个一元六次方程：

$$x^6 - 2x^5 + x^4 + D_{\pm} x^3 - x^2 + 2x - 1 = 0, \quad D_{\pm} = \frac{4}{B} \left(\mp \sqrt{2I_p} - ip_z \right) \quad (12)$$

由于方程 11 是一个实数方程，两个方程的六个根互为共轭关系，因此我们只需要求解 D_+ 的六个解，如果得到了 $\text{Im} t_{s\alpha} < 0$ 的根，只需要进行对实轴的镜像对称即可（取共轭）。解出 x 之后只需要进行 $\tau = \frac{2}{i} \ln(x), t_{s\alpha} = \tau/\omega$

当求解出所有的根之后，在进行鞍点法积分时还会用到 $S(t_{s\alpha})$ 和 $S''(t_{s\alpha})$ ，它们都可以解析地求出：

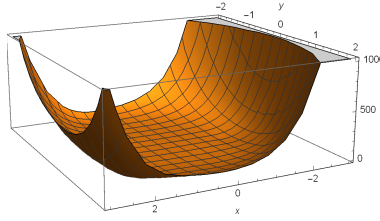
$$\partial_t^2 S(t) = \omega \partial_{\tau} g(\tau) = \omega q(\tau) \partial_{\tau} A(\tau) \quad (13)$$

$$\begin{aligned}
q(\tau) &= B \sin \tau \left(1 - \cos \frac{\tau}{2}\right) + p_z \\
\partial_\tau A(\tau) &= B \left(\cos \tau \left(1 - \cos \frac{\tau}{2}\right) + \frac{1}{2} \sin \tau \sin \frac{\tau}{2} \right) \\
\omega S\left(\frac{\tau}{\omega}\right) &= \left(\frac{3}{8}B^2 + \frac{1}{8}p_z^2 + I_p\right) \tau - \frac{1}{3}Bp_z + Bp_z \left(\cos \frac{\tau}{2} - \cos \tau + \frac{1}{3} \cos \frac{3\tau}{2}\right) \\
&\quad - B^2 \left(\sin \frac{\tau}{2} - \frac{1}{16} \sin \tau - \frac{1}{6} \sin \frac{3\tau}{2} + \frac{3}{16} \sin(2\tau) - \frac{1}{10} \sin \frac{5\tau}{2} \right. \\
&\quad \left. + \frac{1}{48} \sin(3\tau) \right)
\end{aligned} \tag{14}$$

$$\tag{15}$$

2.1.2 代码实现

多项式求复数根采用的为牛顿收缩法，从而求得多项式方程的所有复数根。为了更好地选取初始的猜测解的位置，首先先画个图看一看根的分布。可以看到，当 x 的实部和虚部超过 2 时，函数的模值将超过 100。由



Cauchy 定理，可以合理猜测根的范围大致在 2 以内，因此初始化的随机数生成根的范围为实部和虚部均小于 2 的实数。

```

1 def rand():
2     return 4*np.random.random_sample()-2
3
4 def Newton_deflation(a,N=10**3,e=10**(-14)):
5     """
6     牛顿法解方程
7     输入a为多项式类<class 'numpy.poly1d'>
8     N为最大迭代次数,e为迭代精度
9     返回一个根和收缩多项式
10    """
11    n = 0
12    x = complex(rand(),rand())# 初始取值
13    while n<N:# 控制迭代次数
14        d = np.poly1d((1,-x))
15        q , b = a/d # numpy.poly1d中已经重载运算符

```

```

16         if abs(b[0]) < e: # 当余项小于某一上界
17             # print(b)
18             return x, q
19         x = b[0] / q(x) # 牛顿法 q(x) 即为多项式的导数
20     else:
21         print(str(n) + " loops")
22         return x, q

```

鞍点法求出的根为:

```

Re = 677.1009140604459 Im = 64.20228674142425
Re = 263.9833738578336 Im = 36.80784948552076
Re = 416.73193730586644 Im = 27.879798113027274
Re = 750.6437460397863 Im = 84.50511547794297
Re = 24.0598180994314 Im = 119.54353926968783
Re = 73.87985704437476 Im = 108.16876190566285

```

为了能体现出振荡的效果，在区间内取了 100 个数据点

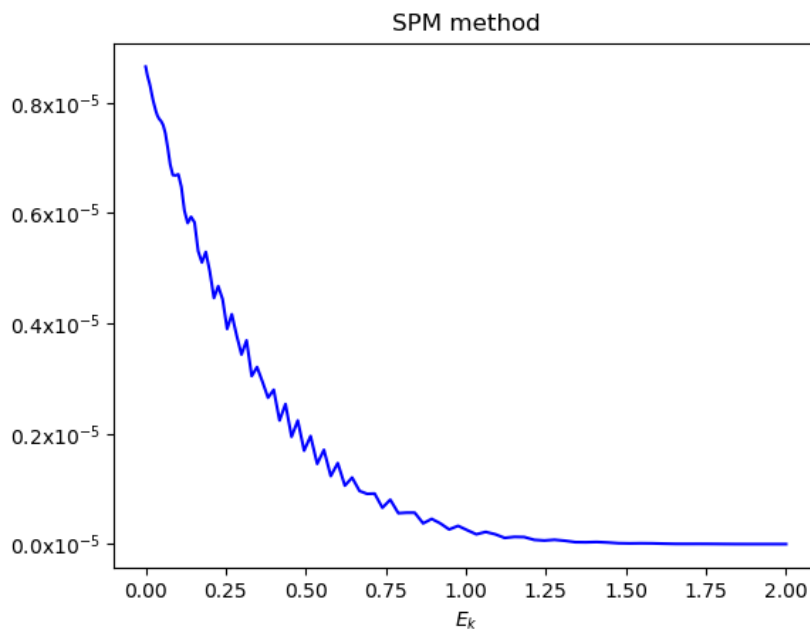


图 4: 鞍点法导出的色散关系

2.2 直接积分法

实际上直接积分也能求解出矩阵元

$$M_{\mathbf{p}}^0(t_f, t_i) = \frac{2^{7/2} (2I_p)^{5/4}}{\pi} \int_{t_i}^{t_f} d\tau \frac{-q(\tau) \partial_\tau A(\tau)}{(q(\tau)^2 + 2I_p)^3} e^{iS(\tau/\omega)} \quad (16)$$

其中 $q(\tau), \partial_\tau A(\tau), S(t)$ 在之前已经求出。接下来可以直接用复化梯形求积公式计算

$$\begin{aligned} T_n &= \sum_{k=0}^{n-1} \frac{h}{2} [f(x_k) + f(x_{k+1})] \\ &= \frac{h}{2} \{ [f(a) + f(x_1)] + [f(x_1) + f(x_2)] + \cdots + [f(x_{n-1}) + f(b)] \} \\ &= \frac{h}{2} \left[f(a) + 2 \sum_{k=1}^{n-1} f(x_k) + f(b) \right] \end{aligned} \quad (17)$$

$$T_{2n} = \frac{T_n}{2} + \frac{h}{2} \sum_{k=0}^{n-1} f\left(x_{k+\frac{1}{2}}\right) \quad (18)$$

其中积分间隔为 $h = \frac{b-a}{n}$

2.3 结果展示

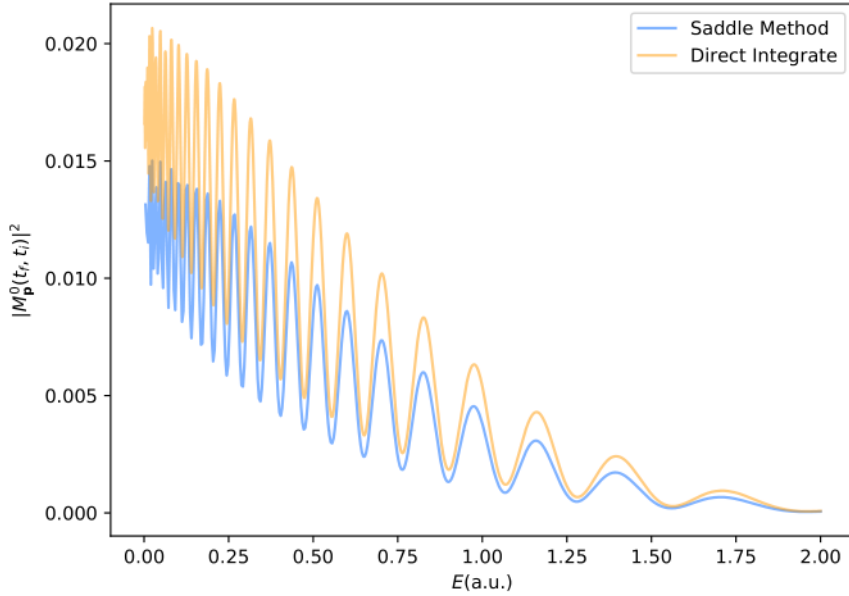


图 5: 直接积分和鞍点法的比较

注意，上面的绝对数值并不正确。

3 第三题：随机游走问题

由于此题小问较多，下面逐问回答

3.1 第一问

设 $s = 1 - p - q$ 为原地不动的概率：则有如下几种情况：

1. 到达 +3 的概率： p^3
2. 到达 +2 的概率： $\binom{3}{1} p^2 s$
3. 到达 +1 的概率： $\binom{3}{1} p s^2 + \binom{3}{1} p^2 q$
4. 原地不动的概率： s^3
5. 到达-1 的概率： $\binom{3}{1} q s^2 + \binom{3}{1} q^2 p$
6. 到达-2 的概率： $\binom{3}{1} q^2 s$
7. 到达-3 的概率： q^3

根据期望的定义

$$E[x] = \sum_x |x| \Pr[x] = 3((p+q)(1+2pq) - 4pq) \quad (19)$$

3.2 第二问

3.2.1 伪随机数产生器

伪随机采用线性同余产生器（LCG）方式产生

$$x_{n+1} = ax_n + c \pmod{m} \quad (20)$$

其中选取 $a = 1140678415$ 、 $c = 12345$ 和 $m = 2^{31} - 1$ ，选取默认的发生种子 x_0 为时间戳。

```
1 from time import time
2
3 def pseudo_rand(n=1, x0 = int(time())):
4     ???
```

```

5      线性同余伪随机数产生
6      """
7      m = 2**31-1
8      a = 1140678415
9      c = 12345
10     res = []
11     for _ in range(n):
12         x0 = (a*x0+c)%m
13         res.append(x0)
14     res = [float(each)/m for each in res]
15     return res

```

结果保存在./res.txt 中

3.3 第三问

3.3.1 代码实现

```

1  def Third_rand_walk(n=100):
2      """
3      第三问
4      """
5      a = pseudo_rand(n)
6      # a = [np.random.random_sample() for _ in range(n)]
7      sequ = [2*np.pi*each for each in a]
8      x=y=0
9      for each in sequ:
10         x+=np.cos(each)
11         y+=np.sin(each)
12     return np.sqrt(x**2+y**2)

```

3.3.2 拟合数据

数据拟合采用正比拟合

$$E[R] = a\sqrt{N} \quad (21)$$

利用最小二乘法的公式：

$$a = \frac{\sum_n x_n y_n}{\sum_n x_n^2} \quad (22)$$

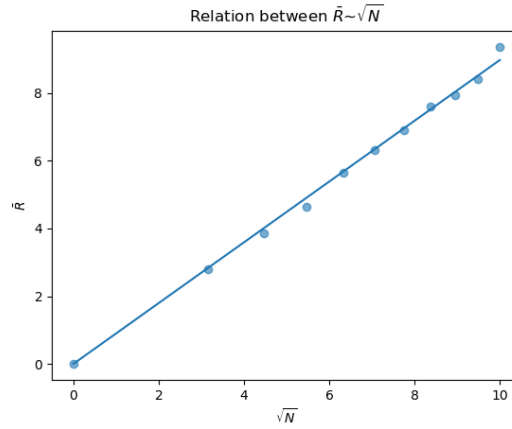
$$r = \frac{\sum_n x_n y_n}{\sqrt{\sum_n x_n^2 \sum_n y_n^2}} \quad (23)$$

3.3.3 结果展示

计算结果得到:

$$\begin{aligned} a &= 0.8976766038832007 \\ r &= 0.9996727181674868 \end{aligned}$$

讲拟合出来的直线和散点图绘制在同一张图上得到:



3.4 第四问

设 $Z_n = X_n + iY_n$, 有公式:

$$Z_n = \sum_k e^{i\theta_k} \quad (24)$$

由于对于 θ 是均匀分布的, 有:

$$E[e^{i\theta}] = \int_0^{2\pi} \frac{d\theta}{2\pi} e^{i\theta} = 0 \quad (25)$$

因此有:

$$E[Z_n] = \sum_k 0 = 0 \quad (26)$$

这样可以导出

$$E[X_n] = E[Y_n] = 0 \quad (27)$$

方差计算:

$$\begin{aligned} Var(X_n) &= E[X_n^2] = \sum_{k=1}^n \sum_{l=1}^n E[\cos \theta_k \cos \theta_l] \\ &= \sum_{k=1}^n \frac{1}{2} = \frac{n}{2} \end{aligned} \quad (28)$$

同理可以计算得到

$$\text{Var}(Y_n) = \frac{n}{2} \quad (29)$$

3.5 第五问

X, Y 的相关性可以用协方差描述:

$$\begin{aligned} \text{Cov}(X_n, Y_n) &= E[X_n Y_n] - E[X_n]E[Y_n] \\ &= \sum_{k, \ell} E[\cos \theta_k \sin \theta_\ell] \end{aligned} \quad (30)$$

分下面两种情况讨论

$$\begin{cases} k \neq \ell, & \int_0^{2\pi} \int_0^{2\pi} \frac{d\theta_k}{2\pi} \frac{d\theta_\ell}{2\pi} \cos \theta_k \sin \theta_\ell = 0 \\ k = \ell, & \int_0^{2\pi} \frac{d\theta_k}{2\pi} \cos \theta_k \sin \theta_k = 0 \end{cases} \quad (31)$$

故随机变量 X_n 与 Y_n 可视为独立

3.6 第六问

当 $n \rightarrow \infty$ 时, 根据中心极限定理, 随机变量 $\sqrt{n}(S_n - \mu)$ 收敛到多维正态分布 $N(0, \Sigma)$ 对题文中情况, 为二维分布

$$N(\mu, \Sigma) = \frac{1}{\sqrt{(2\pi)^r |\Sigma|}} \exp \left(-\frac{1}{2} (x - \mu)^T \Sigma^{-1} (x - \mu) \right) \quad (32)$$

将之前计算的结果代入

$$\mu = \begin{pmatrix} 0 \\ 0 \end{pmatrix} \quad \Sigma = \begin{pmatrix} \frac{1}{2} & 0 \\ 0 & \frac{1}{2} \end{pmatrix} \quad (33)$$

得到

$$f(x_n, y_n) = \frac{1}{\sqrt{n\pi}} \exp \left(\frac{-x_n^2}{n} \right) \frac{1}{\sqrt{n\pi}} \exp \left(\frac{-y_n^2}{n} \right) \quad (34)$$

3.7 第七问

将上一问中的直角坐标变换到柱坐标中, 并且将角向的自由度积分后可以得到:

$$\begin{aligned} f(\rho) d\rho &= \int_0^{2\pi} \rho d\rho d\varphi \frac{1}{n\pi} \exp \left(-\frac{\rho^2}{n} \right) \\ f(\rho) &= \frac{2\rho}{n} \exp \left(-\frac{\rho^2}{n} \right) \end{aligned} \quad (35)$$

3.8 第八问

$$E[R_n] = \int_0^\infty \rho f(\rho) d\rho = \frac{\sqrt{\pi}}{2} \sqrt{n} \approx 0.886\sqrt{n} \quad (36)$$

相差仅为约 1.3%